

УДК 66.074

ФІЛЬТР ОЧИСТКИ ВОЗДУХА ОТ ДІОКСИДА УГЛЕРОДА ДЛЯ СРЕДСТВ ЗАПРАВКИ БАЛЛОННЫХ ДРОССЕЛЬНЫХ МИКРОКРИОГЕННИХ СИСТЕМ

Ільїн В.М., канд. техн. наук, доцент, Баранов Е.Д., Михалев А.В.
ООО «НТК «Криогенна техніка», г. Омск

В настоящем докладе представлены результаты работ по изучению глубокой очистки воздуха от диоксида углерода на гидроокисях щелочных металлов. Сформирован состав химпоглотителя. Разработан фильтр картриджного типа для воздушного заправщика баллонных дроссельных микрокриогенных систем.

This report presents results of studies on deep cleansing of the air of carbon dioxide in the alkali metal hydroxide. Formed the composition of chemical absorber. Designed filter cartridge type for pure air generator of the bottle-type throttle micro-cryogenic systems.

Ключевые слова: очистка воздуха от диоксида углерода, воздушный заправщик, баллонные дроссельные микрокриогенные системы.

Разомкнутые баллонные дроссельные микрокриогенные системы (БДМКС) широко применяются для криостатирования при температурах до 80 К фотоприемников инфракрасного излучения. Их преимуществами являются простота конструкции, возможность работы без потребления энергии от внешнего источника, малые размеры и масса.

Наиболее доступным и дешевым криоагентом для баллонных дроссельных микрокриогенных систем (БДМКС) является атмосферный воздух. Его использование позволяет организовать производство криоагента непосредственно в месте его потребления, но связано с необходимостью глубокой очистки от легкоконденсируемых примесей. В частности, для обеспечения надежной работы БДМКС содержание CO₂ в криоагенте не должно превышать 1 ppm.

Применимость хорошо отработанных и широко используемых в криогенной технике адсорбционных методов очистки на цеолитах в портативных средствах обеспечения криоагентом проблематична ввиду низкой адсорбционной ёмкости указанных сорбентов по диоксиду углерода и её резкой температурной зависимости в диапазоне эксплуатационных температур. Перспективно применение химической очистки от диоксида углерода, однако выпускаемые отечественной промышленностью поглотители не рассчитаны на очистку с указанной глубиной, и их возможности в данной области выходных концентраций не изучены.

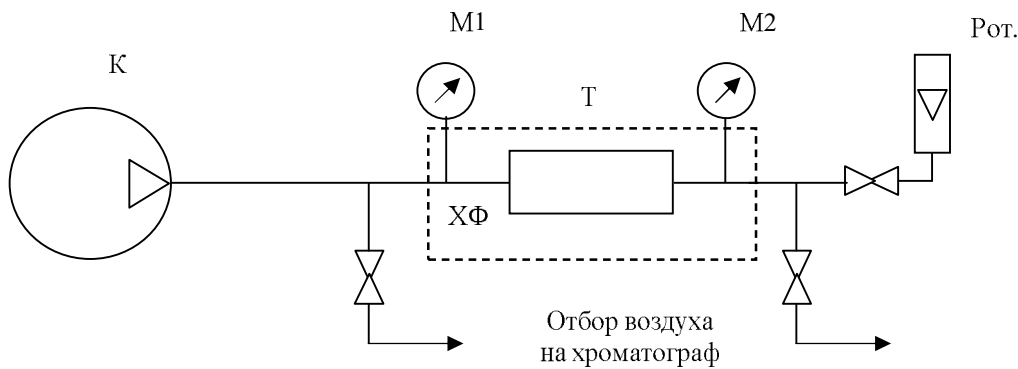
Целью настоящей работы является оценка возможности обеспечения очистки воздуха от диоксида углерода до остаточного содержания на уровне 1 ppm на гидроокисях щелочных металлов и поглотителях на их основе, выбор поглотителя, разработка фильтра для воздушного заправщика.

Возможность выполнения требований к глубине очистки воздуха была изучена на ряде материалов на основе гидроокисей щелочных металлов, применяемых в системах жизнеобеспечения, а также для контроля содержания диоксида углерода химическим методом [1].

Поглотительные свойства образцов определялись на стенде (рис. 1). Содержание диоксида углерода на входе и выходе фильтра с поглотителем измерялось хроматографическим методом по ранее разработанной методике [2] с концентрированием примеси. Влага из отбираемых на анализ проб воздуха удалялась осушителем ИК-011-1 (ТУ-2163-024-03533913-99), для охлаждения концентратора использовалась кубовая жидкость.

При оценке применимости и сравнении образцов сопоставлялись полученные значения глубины очистки и динамической ёмкости поглотителей, а также устойчивость остаточной концентрации диоксида углерода в очищенном потоке к изменению расхода воздуха. Измерения проводились при температуре 20±3 °C, концентрация диоксида углерода на входе фильтра составляла 350÷500 ppm, длина слоя поглотителя была равна 130 мм. Измерения проводились при давлениях 2,5 и 3,7 МПа, линейная скорость потока варьировалась в диапазоне 0,2–1 см/сек. По результатам проведённых испытаний был сделан предварительный выбор наиболее перспективных образцов поглотителей.

Номенклатура и результаты определения поглотительных свойств выбранных образцов приведены в табл. 1.



*K – компрессор; M1, M2 – манометри; ХФ – химический фильтр;
Рот – ротаметр; Т – термостат*

Рис. 1 – Стенд для изучения поглотительных свойств образцов

Поглотитель химический известковый ХП-И (ГОСТ 6755-88) позволяет получить глубину очистки до остаточной концентрации CO_2 на уровне, близком к 1 ppm, однако при указанных выше условиях ввиду нестабильности процесса очистки представительных данных по динамической ёмкости получить не удалось.

Таблица 1 – Номенклатура и характеристики образцов поглотителей диоксида углерода (давление 3,7 МПа, скорость 0,3 см/с)

№	Тип поглотителя	Глубина очистки, ppm	Динамическая ёмкость, г/см ³	Устойчивость к изменению расхода	Вредность ПДК, мг/м ³
1	ХП-И	1,1-1,5	–	Нет	–
2	Аскарит (фракция 0,5–4 мм)*	0,2	0,45	Да	0,5
3	NaOH (фракция 0,3–0,5 мм)*	0,2	0,34	Да	0,5
4	$\text{LiOH} \times \text{H}_2\text{O}$	0,5	0,23	Нет	0,02

Гидроокись натрия NaOH (ГОСТ 2263-71) перед испытаниями дробилась с отбором фракции 0,3–0,5 мм. Ввиду высокой растворимости NaOH и склонности к образованию кристаллогидратов для предотвращения нарушения порозности слоя до завершения опыта испытуемый образец смешивался с осушителем. NaOH обеспечивает глубину очистки ниже 1 ppm в указанном выше диапазоне линейных скоростей и нечувствителен к изменению расхода.

Аскарит (ТУ 6-09-4128-88) перед испытаниями также смешивался с осушителем. Он представляет собой NaOH, нанесённый на волокна асбеста с целью увеличения удельной поверхности. Это даёт увеличение динамической ёмкости при близких к гидроокиси натрия показателях по глубине очистки.

Моногидрат гидроокиси лития $\text{LiOH} \times \text{H}_2\text{O}$ (ГОСТ 8595-83) также обеспечивает глубину очистки ниже 1 ppm, концентрация CO_2 на выходе фильтра чувствительна к изменению скорости потока. Малая водорастворимость и отсутствие дальнейшего гидратообразования позволяют использовать его в качестве поглотителя в состоянии поставки. Это определяет его более высокую динамическую активность в сравнении с поглотителями на основе гидроокиси натрия, а также упрощает технологический процесс снаряжения фильтра. Однако выявленное преимущество в значительной степени обесценивается высокой вредностью и существенным снижением растворимости $\text{LiOH} \times \text{H}_2\text{O}$ с ростом температуры. Последнее при изменении температуры приводит к кристаллизации гидроокиси лития из скапливающегося в лобовой части слоя насыщенного раствора на сетках и других элементах фильтра и, как следствие к нарушению распределения потока, росту гидравлического сопротивления фильтра вплоть до полного перекрытия входного сечения.

На основании полученных результатов и анализа устойчивости материалов, применяемых при проектировании фильтров, к воздействию перечисленных веществ, а также соображений безопасности в качестве активного компонента поглотителя диоксида углерода был выбран аскарит.

Состав поглотителя формировался с целью обеспечения его живучести при сохранении поглотительной способности в условиях эксплуатации воздушного заправщика (давление 3,7 МПа; температура

от 5 до 55 °C). В результаті отработки ряду варіантів був сформовано склад поглотителя аскарит/СаО в співвідношенні 1:2.

С цією метою підтвердження отриманих результатів та більш детального дослідження властивостей поглотителя були проведено пілотні дослідження отриманого поглотителя на фільтре з наступними параметрами шару: довжина — 390 мм, діаметр — 52 мм при умовах, близьких до експлуатаційним. В ході дослідження визначалися періоди захистного діяння ХФ в інтервалі робочих температур від 5 °C до 55 °C та вологості входящого потоку від 15±5 ppm до максимальної при заданій температурі.

Критеріями завершення дослідження слугували:

- при робочій температурі 5 °C — місткість діоксиду углерода в очищенному потоці вище 1 ppm;
- при робочій температурі 55 °C — гидравлическе сопротивление ХФ 3 atm или наработка більше 40 годин.

Получені залежності концентрації діоксиду углерода на виході ХФ від наработка приведені на рис. 2. З приведених даних видно, що розроблений поглотитель зберігає роботоспособність во всьому діапазоні реальних значень температур та обладає ресурсом не менше 50 м³/л (по входящому повітря з місткістю CO₂ 500 ppm)



1) при t = 55 °C, 2) при t = 5 °C

Рис. 2 – Залежність концентрації діоксиду углерода від кількості переробленого повітря

В ході дослідження зустрілося змінення гидравлического сопротивлення ХФ від наработка не відмінно, т.е. живучесть фільтра не теряється впродовж всього ресурса.

Получений хімічний поглотитель був використаний при розробці фільтра хімічної очистки полевого автономного воздушного заправника баллонних дросельних мікрокриогенних систем [3]. Планируемий ресурс фільтра 100 годин був підтверджений дослідженнями во всьому діапазоні умов експлуатації, а також послідовними дослідженнями в складі експериментальних та серійних зразків заправника. Конструктивно фільтр виконаний в формі замінного картриджа, поміщеного в герметичний корпус. Дліття хранення замінних картриджів становить не менше 7 років, що підтверджено натуральними дослідженнями.

Таким чином, в результаті проведених робіт був сформовано склад хімічного поглотителя діоксиду углерода для глибокої очистки повітря, вивчено вплив кліматических факторів на його поглотительну здатність. На основі отриманого поглотителя був розроблено та внедрено в серійне виробництво хімічний фільтр полевого автономного воздушного заправника баллонних дросельних мікрокриогенних систем.

Література

1. Громов Э.А., Ильин В.М., Михалев А.В. Результаты изучения глубокой очистки воздуха от діоксида углерода на гидроокисях щелочных металлов // Низкотемпературные и пищевые технологии в XXI веке. Сборник трудов II международной научно-технической конференции. – Санкт-Петербург, 2003. – Т. 1. – С. 23-27.

2. Матяш Ю.И., Стрельникова Е.Б. Хроматографический метод определения микропримесей воды и диоксида углерода в многокомпонентном криоагенте. Тез. докл. Всес. науч.-техн. конф. «Микро-криогенная техника – 84». – М.: ЦИНТИХИМНЕФТЕМАШ, 1984. – С.58-59.
3. Ильин В.М., Ермаков В.М., Калинин В.В. Полевой автономный воздушный заправщик для баллонных дроссельных микрокриогенных систем // Наукові праці ОНАХТ, Одеса. – 2009. – Вип. 35. Т. 1. – С.221-222.

УДК 532.5.032

РАБОЧИЙ ПРОЦЕСС В ДИСКОВОМ НАСОСЕ ТРЕНИЯ

Кишкин А.А., д-р техн. наук, профессор, Смирнов П.Н., аспирант,
Делков А.В., магистрант, Ходенков А.А., магистрант
Сибирский государственный аэрокосмический университет
им. акад. М. Ф. Решетнева, г. Красноярск

Рассматривается подход к построению математической модели дискового насоса трения путем разложения его гидравлического тракта на отдельные структурно-функциональные участки. На основе напряжений трения, полученных из уравнений импульсов турбулентного пространственно-пограничного слоя, приведены решения уравнений движения вязкой несжимаемой жидкости в каждом из участков.

An approach to constructing a mathematical model of the friction disk pump through the expansion of its hydraulic path into individual structural-functional areas is considering. Based on the friction pressure obtained from the momentum equations of turbulent spatial boundary layer, solutions of the motion equations of viscous incompressible fluid in each of the sites are given.

Ключевые слова: дисковый насос, напряжения трения, уравнения движения, математическое моделирование.

Дисковые насосы представляют собой простейшие турбомашины, в которых рабочему телу сообщается энергия за счет работы кориолисовых сил в форме сил трения. Основным элементом дискового насоса является расположено в корпусе колесо, состоящее из нескольких дисков, скрепленных между собой. Дисковые насосы имеют ряд преимуществ по сравнению с лопастными машинами, а в некоторых областях единственно работоспособными [1]. Учитывая, что дисковые насосы обладают исключительными антикавитационными свойствами, что позволяет более эффективно перекачивать двух- и трехфазные среды, имеют низкий уровень шума, они получили широкое применение в нефте- и горнодобывающей, химической, пищевой промышленностях, медицине. Кроме того, дисковые насосы эффективно работают в области малых коэффициентов быстротходности (при малых объемных расходах и высоких напорах), что в сочетании с антикавитационными качествами определяет их применение в энергосистемах малой мощности (<100 кВт), использующих фазовый переход рабочего тела: паротурбинные генераторы на низкокипящем рабочем теле, системы терморегулирования различного назначения и т.п.

Для моделирования течения в рабочей полости дискового насоса, целесообразно выделить структурно-функциональные участки гидравлического тракта, на которых реализованы различные типы течения. Причем течение на каждом участке условно делится на течение в ядре и пространственном пограничном слое (ППС) [2]. Решение задачи о течении в ППС сводится к определению напряжений трения на непроницаемых границах. Результатом решения задачи о течении в ядре потока являются поля угловой скорости вращения ядра потока и статического давления. Согласно принципиальной схеме дискового насоса (рис. 1) нами были рассмотрены два таких участка: с течением между вращающимся диском и неподвижной стенкой, и с течением между двумя вращающимися дисками. Рассмотрим каждый из этих участков по отдельности.

Рассмотрим элементарный объем жидкости в зазоре между двумя вращающимися дисками (рис. 2). На рисунке $\tau_{0\alpha}^{\delta 1}, \tau_{0\alpha}^{\delta 2}$ — окружные напряжения трения на первом и втором диске соответственно; $\tau_{0R\alpha}^{\delta 1}, \tau_{0R\alpha}^{\delta 2}$ — радиальные напряжения трения от окружной составляющей скорости на первом и втором диске соответственно; $\tau_{0Rp}^{\delta 1}, \tau_{0Rp}^{\delta 2}$ — радиальные напряжения трения от расходной составляющей скорости на первом и втором диске соответственно. Элементарный объем представляет собой кольцо на теку-